

(本试剂盒仅供体外研究使用， 不用于临床诊断！)

产品货号：GBQ270

产品规格：48T(32 samples)/ 96T(80 samples)

检测仪器：酶标仪(440-460 nm)

## Elabscience®乙醇比色法测试盒

### Ethanol Colorimetric Assay Kit

使用前请仔细阅读说明书。如果有任何问题，请通过以下方式联系我们：

电话：400-999-2100

邮箱：[biochemical@elabscience.cn](mailto:biochemical@elabscience.cn)

网址：[www.elabscience.cn](http://www.elabscience.cn)

具体保质期请见试剂盒外包装标签。请在保质期内使用试剂盒。

联系时请提供产品批号(见试剂盒标签)，以便我们更高效地为您服务。

## 用途

本试剂盒适用于检测血清(浆)、酒类等液体中乙醇的含量。

## 检测原理

酒精(乙醇 C<sub>2</sub>H<sub>5</sub>OH)是最广泛使用的饮料之一，低剂量的酒精可能有助于血液循环，而大量饮酒可能导致各种疾病，血液中乙醇含量测定是酒精中毒的重要判断依据，通过对摄入酒精后血中乙醇含量的测定，可方便迅速地监测和研究乙醇在体内的代谢过程，从而为预防和减轻酒精中毒的研究提供相应的指标和依据。

乙醇在乙醇脱氢酶的催化下氧化脱氢生成乙醛，同时，NAD<sup>+</sup>被还原生成 NADH，NADH 在递氢物质的作用下使 WST-8 显橙黄色，通过 450 nm 下测定吸光值变化可测得乙醇含量。

## 提供试剂和物品

编号	名称	规格 1 (Size 1)(48 T)	规格 2 (Size 2)(96 T)	保存方式 (Storage)
试剂一 (Reagent 1)	缓冲液 A (Buffer Solution A)	10 mL×1 瓶	20 mL×1 瓶	-20°C 保存 3 个月
试剂二 (Reagent 2)	酶试剂 (Enzyme Reagent)	粉剂×1 支	粉剂×2 支	-20°C 避光 保存 3 个月
试剂三 (Reagent 3)	缓冲液 B (Buffer Solution B)	7 mL×1 瓶	14 mL×1 瓶	-20°C 保存 3 个月
试剂四 (Reagent 4)	底物 (Substrate)	粉剂×1 支	粉剂×2 支	-20°C 避光 保存 3 个月
试剂五 (Reagent 5)	显色剂 (Chromogenic Agent)	1.5 mL×1 支	1.5 mL×2 支	-20°C 避光 保存 3 个月
试剂六 (Reagent 6)	10 μmol/mL 标准品 溶液(10 μmol/mL Standard Solution)	1.8 mL×1 支	1.8 mL×2 支	-20°C 保存 3 个月
	96 孔酶标板	48 孔×1 块	96 孔×1 块	无要求
	96 孔覆膜	2 张		

	样本位置标记表	1 张	
--	---------	-----	--

说明：试剂严格按照上表中的保存条件保存，不同测试盒中的试剂不能混用。

对于体积较少的试剂，使用前请先离心，以免量取不到足够量的试剂。

## 所需自备物品

仪器：酶标仪(440-460 nm, 最佳检测波长 450 nm), 恒温箱(37°C)

## 试剂准备

① 检测前，试剂二放置于冰盒待用，其它试剂平衡至室温。

② 试剂二工作液配制：

每支试剂二加入180 μL双蒸水溶解，混匀，室温避光静置30 min后使用，2-8°C可避光保存4天。

③ 试剂四工作液的配制：

每支试剂四加入170 μL双蒸水溶解，混匀，-20°C可避光保存4天。

④ 反应工作液的配制：

按照试剂一：试剂二工作液：试剂三：试剂四工作液：试剂五体积比为80: 1: 37: 2: 8的比例混匀，避光待用，现配现用，按需配制，配好的反应工作液需在0.5 h内使用。（反应工作液在标准品和样本加入板孔后配制）

⑤ 不同浓度标准品的稀释：

编号	①	②	③	④	⑤	⑥	⑦	⑧
标准品浓度(μmol/mL)	0	2	3	4	6	8	9	10
10μmol/mL 标准品(μL)	0	40	60	80	120	160	180	200
双蒸水(μL)	200	160	140	120	80	40	20	0

## 样本准备

### ① 样本处理

血清血浆样本：直接测定。

### ② 样本的稀释

在正式检测前，需选择2-3个预期差异大的样本稀释成不同浓度进行预实验，根据预实验的结果，结合本试剂盒的线性范围：0.27-10.0  $\mu\text{mol}/\text{mL}$ ，请参考下表稀释(仅供参考)：

样本	稀释倍数	样本	稀释倍数
啤酒 (酒精含量 2.8%)	60-100	白葡萄酒 (酒精含量 12%)	250-300

注：样本稀释液为双蒸水。

## 实验关键点

- ① 加入反应工作液时避免酶标孔内有气泡。
- ② 加入反应工作液后，酶标板需要避光。
- ③ 每支试剂二加入 180  $\mu\text{L}$  双蒸水溶解后，需室温避光静置 30 min 后再使用。
- ④ 反应工作液需在标准品和样品加入板孔后再配制。

## 操作步骤

- ① 标准孔：取 40  $\mu\text{L}$  不同浓度的标准品溶液加入相应的酶标孔中。  
测定孔：取 40  $\mu\text{L}$  待测样本加入测定孔中。
- ② 向步骤①中各孔依次加入 160  $\mu\text{L}$  反应工作液。
- ③ 振板 3 s, 酶标仪 450 nm 下测得各孔初始 OD 值  $A_1$  (2 min 内检测完)。
- ④ 37°C 避光孵育反应 10 min。
- ⑤ 酶标仪于 450 nm 波长测定各孔 OD 值  $A_2$ , 计算 OD 变化值  $\Delta A$ ( $\Delta A = A_2 - A_1$ )。

## 操作表

	标准孔	测定孔
不同浓度标准品( $\mu\text{L}$ )	40	--
待测样本 ( $\mu\text{L}$ )	--	40
反应工作液( $\mu\text{L}$ )	160	160
振板 3 s, 酶标仪 450 nm 波长测定各孔初始 OD 值 $A_1$ 。		
37°C 下避光孵育反应 10 min。		
酶标仪于 450 nm 波长测定各孔 OD 值 $A_2$ , 计算变化 OD 值 $\Delta A$ ( $\Delta A = A_2 - A_1$ )。		

## 结果计算

标准品拟合曲线:  $y = ax + b$

液体样本中乙醇含量计算公式:

$$\frac{\text{乙醇含量}}{(\mu\text{mol/mL})} = \frac{(\Delta A_{450} - b)}{a} \times f$$

注解:

y: 标准孔 $\Delta A_{\text{标}}$ -空白孔 $\Delta A_{\text{空}}$ (标准品浓度为 0 时 OD 变化值)

x: 标准品的浓度

a: 标曲的斜率

b: 标曲的截距

$\Delta A_{450}$ : 测定孔 $\Delta A_{\text{样}}$ -空白孔 $\Delta A_{\text{空}}$ (标准品浓度为 0 时 OD 变化值)

f: 样本加入检测体系前的稀释倍数

## 附录1 关键数据

### 1. 技术参数

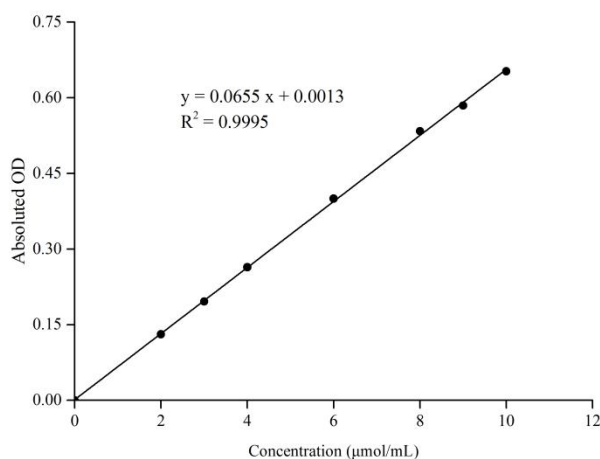
检测范围	0.27–10.0 $\mu\text{mol/mL}$	平均批间差	5.0 %
灵敏度	0.27 $\mu\text{mol/mL}$	平均批内差	3.5 %
平均回收率	96%		

## 2. 标准曲线(数据仅供参考)

①不同浓度的标准品加样量40  $\mu\text{L}$ , 按照操作步骤进行实验, 各点OD值如下表所示:

标准品浓度 ( $\mu\text{mol/mL}$ )	0	2	3	4	6	8	9	10
A <sub>1</sub>	0.050	0.061	0.067	0.073	0.088	0.101	0.107	0.115
	0.050	0.061	0.067	0.072	0.086	0.104	0.102	0.111
A <sub>2</sub>	0.066	0.206	0.278	0.352	0.507	0.660	0.700	0.783
	0.066	0.210	0.280	0.353	0.499	0.645	0.710	0.780
$\Delta A$ 值	0.016	0.145	0.211	0.279	0.419	0.559	0.593	0.668
	0.016	0.149	0.213	0.281	0.413	0.541	0.608	0.669
平均 $\Delta A$ 值	0.016	0.147	0.212	0.280	0.416	0.550	0.601	0.669
绝对 $\Delta A$ 值	0.000	0.131	0.196	0.264	0.400	0.534	0.585	0.653

②绘制标曲(如下图):



## 附录2 实例分析

例如测定啤酒(标注酒精含量 $\geq 2.8\%$ ,  $\geq 476 \mu\text{mol/mL}$ ) (数据仅供参考):

取稀释100倍后的啤酒样本40  $\mu\text{L}$ , 按操作表操作, 结果如下:

标准曲线:  $y = 0.0655 x + 0.0013$ , 空白孔 $A_1$ 值为0.05,  $A_2$ 值为0.066,  
 $\Delta A_{空}$ 为0.016, 测定孔 $A_1$ 值为0.065,  $A_2$ 值为0.434,  $\Delta A_{样}$ 为0.369, 计算结果为:

$$\begin{aligned} \text{乙醇含量} &= (0.369 - 0.016 - 0.0013) \div 0.0655 \times 100 = 536.95 \mu\text{mol/mL} \\ (\mu\text{mol/mL}) \end{aligned}$$

### 附录3 问题答疑

问题	可能原因	建议解决方案
复孔差异大	样本加入量差异较大	减小样本量差异
	工作液加入量差异较大	使用移液器时注意减小工作液加入量差异
	反应体系有气泡	消除气泡或重新检测
	反应过程酶标板未避光	加完试剂和 A <sub>1</sub> 检测完毕酶标板须及时避光
	样本稀释倍数较大	重新处理样本，提高样本匀浆浓度
样本测不出值	工作液未避光	工作液存放须避光
空白孔初始 OD 值 A <sub>1</sub> >0.5	工作液放置时间太久	工作液按需配置，现配现用

### 声明

1. 试剂盒仅供研究使用，如将其用于临床诊断或任何其他用途，我公司将不对因此产生的问题负责，亦不承担任何法律责任。
2. 实验前请仔细阅读说明书并调整好仪器，严格按照说明书进行实验。
3. 实验中请穿着实验服并戴乳胶手套做好防护工作。
4. 试剂盒检测范围不等同于样本中待测物的浓度范围。如果样品中待测物浓度过高或过低，请对样本做适当的稀释或浓缩。
5. 若所检样本不在说明书所列样本类型之中，建议先做预实验验证其检测有效性。
6. 最终的实验结果与试剂的有效性、实验者的相关操作以及实验环境等因素密切相关。本公司只对试剂盒本身负责，不对因使用试剂盒所造成的样本消耗负责，使用前请充分考虑样本可能的使用量，预留充足的样本。

## 附录4 客户发表文献

1. Du S, Zhou N, Xie G, et al. Surface-engineered triboelectric nanogenerator patches with drug loading and electrical stimulation capabilities: Toward promoting infected wounds healing[J]. *Nano Energy*, 2021, 85:106004. IF:17.087
2. Bartolini D, Arato I, Mancuso F, et al. Melatonin modulates Nrf2 activity to protect porcine pre-pubertal Sertoli cells from the abnormal H<sub>2</sub>O<sub>2</sub> generation and reductive stress effects of cadmium. *J Pineal Res.* 2022;73 (1):e12806. IF:13.007
3. Yang Z, Wang J, Ai S, et al. Self-generating oxygen enhanced mitochondrion-targeted photodynamic therapy for tumor treatment with hypoxia scavenging[J]. *Theranostics*, 2019, 9(23): 6809. IF:11.556
4. Wan Q, Cao R, Wen G, et al. Sequential use of UV-LEDs irradiation and chlorine to disinfect waterborne fungal spores: Efficiency, mechanism and photoreactivation[J]. *Journal of Hazardous Materials*, 2022, 423:127102-. IF:10.588
5. Tian J, Wang L, Hui S, et al. Cadmium accumulation regulated by a rice heavy-metal importer is harmful for host plant and leaf bacteria. *J Adv Res.* 2022. IF:10.479
6. Jg A, Jie S B, Jy B, et al. Comparative toxicity reduction potential of UV/sodium percarbonate and UV/hydrogen peroxide treatments for bisphenol A in water: An integrated analysis using chemical, computational, biological, and metabolomic approaches[J]. *Water Research*, 2020, 190. IF:9.702
7. Yang X X, Xu X, Wang M F, et al. A nanoreactor boosts chemodynamic therapy and ferroptosis for synergistic cancer therapy using molecular amplifier dihydroartemisinin[J]. *Journal of Nanobiotechnology*, 2022, 20(1):1-19. IF:9.464
8. Liu Z, Liu X, Yang Q, et al. Neutrophil membrane-enveloped nanoparticles for the amelioration of renal ischemia-reperfusion injury in mice[J]. *Acta Biomaterialia*, 2020, 104: 158-166. IF:8.947
9. Huang S, Le H, Hong G, et al. An all-in-one biomimetic iron-small interfering RNA nanoplateform induces ferroptosis for cancer therapy. *Acta Biomater.* 2022;148:244-257. IF:8.291
10. Alharbi YM, Sakr SS, Albarak SM, et al. Antioxidative, Antidiabetic, and Hypolipidemic Properties of Probiotic-Enriched Fermented Camel Milk Combined with Salvia officinalis Leaves Hydroalcoholic Extract in Streptozotocin-Induced Diabetes in Rats. *Antioxidants (Basel)*. 2022;11 (4):. IF:7.675
11. Wang H, Huang Q, Zhang Z, et al. Transient post-operative overexpression of CXCR2 on

- monocytes of traumatic brain injury patients drives monocyte chemotaxis toward cerebrospinal fluid and enhances monocyte-mediated immunogenic cell death of neurons in vitro[J]. Journal of Neuroinflammation, 2022. IF:7.573
- 12. Liu P, Yin Z, Chen M, et al. Cytotoxicity of adducts formed between quercetin and methylglyoxal in PC-12 cells[J]. Food Chemistry, 2021, 352(2):129424. IF:7.514
  - 13. Adhikari B, Adhikari M, Ghimire B, et al. Cold plasma seed priming modulates growth, redox homeostasis and stress response by inducing reactive species in tomato (*Solanum lycopersicum*)[J]. Free Radical Biology and Medicine, 2020, 156: 57-69. IF:7.376
  - 14. Zhao X, Wang C, Dai S, et al. Quercetin Protects Ethanol-Induced Hepatocyte Pyroptosis via Scavenging Mitochondrial ROS and Promoting PGC-1  $\alpha$ -Regulated Mitochondrial Homeostasis in L02 Cells. Oxid Med Cell Longev. 2022;2022:4591134. IF:7.31
  - 15. Chagas TQ, Freitas ÍN, Montalvão MF, Nobrega RH, Machado MRF, Charlie-Silva I, Araújo APDC, Guimarães ATB, Alvarez TGDS, Malafaia G. Multiple endpoints of polylactic acid biomicroplastic toxicity in adult zebrafish (*Danio rerio*)[J]. Chemosphere. 2021 Aug;277:130279. IF:7.086
  - 16. Mlindele Gamede, Lindokuhle Mabuza, Phikelelani Ngubane, et al. Preventing the onset of diabetes-induced chronic kidney disease during prediabetes: The effects of oleanolic acid on selected markers of chronic kidney disease in a diet-induced prediabetic rat model[J]. Biomedicine & Pharmacotherapy. 2021 Jul;139:111570. IF:6.529
  - 17. Yang H, Zhu Y, Ye Y, et al. Nitric oxide protects against cochlear hair cell damage and noise-induced hearing loss through glucose metabolic reprogramming.[J]. Free radical biology & medicine, 2021. IF:6.525
  - 18. Rao M J, Xu Y, Tang X, et al. CsCYT75B1, a Citrus CYTOCHROME P450 Gene, Is Involved in Accumulation of Antioxidant Flavonoids and Induces Drought Tolerance in Transgenic Arabidopsis[J]. Antioxidants & Redox Signaling, 2020, 9(2):161. IF:6.313
  - 19. Liou G G, Hsieh C C, Lee Y J, et al. N-Acetyl Cysteine Overdose Inducing Hepatic Steatosis and Systemic Inflammation in Both Propacetamol-Induced Hepatotoxic and Normal Mice[J]. Antioxidants, 2021, 10(3):442. IF:6.312
  - 20. Wang Y, Chi H, Xu F, et al. Cadmium chloride-induced apoptosis of HK-2 cells via interfering with mitochondrial respiratory chain[J]. Ecotoxicology and Environmental Safety, 2022, 236:113494-. IF:6.233
  - 21. Obaid QA, Al-Shammari AM, Khudair KK. Glucose Deprivation Induced by Acarbose and Oncolytic Newcastle Disease Virus Promote Metabolic Oxidative Stress and Cell

- Death in a Breast Cancer Model. *Front Mol Biosci.* 2022;9:816510. IF:6.113
- 22. Abdel-Wahab BA, Walbi IA, Albarqi HA, Ali FEM, Hassanein EHM. Roflumilast protects from cisplatin-induced testicular toxicity in male rats and enhances its cytotoxicity in prostate cancer cell line. Role of NF-κB-p65, cAMP/PKA and Nrf2/HO-1, NQO1 signaling[J]. *Food Chem Toxicol.* 2021 May;151:112133. IF:6.023
  - 23. Aljutaily T. Evaluating the Nutritional and Immune Potentiating Characteristics of Unfermented and Fermented Turmeric Camel Milk in Cyclophosphamide-Induced Immunosuppression in Rats. *Antioxidants (Basel).* 2022;11 (4):. IF:5.952
  - 24. Jabbari N, Nawaz M, Rezaie J. Ionizing Radiation Increases the Activity of Exosomal Secretory Pathway in MCF-7 Human Breast Cancer Cells: A Possible Way to Communicate Resistance against Radiotherapy[J]. *International Journal of Molecular Sciences,* 2019, 20(15):3649-. IF:5.923
  - 25. Shanmugarajan D, Girish C, Harivenkatesh N, et al. Antihypertensive and pleiotropic effects of Phyllanthus emblica extract as an add-on therapy in patients with essential hypertension—A randomized double-blind placebo-controlled trial[J]. *Phytotherapy Research,* 2021. IF:5.878
  - 26. Marzocco S, Fazeli G, Di Micco L, et al. Supplementation of Short-Chain Fatty Acid, Sodium Propionate, in Patients on Maintenance Hemodialysis: Beneficial Effects on Inflammatory Parameters and Gut-Derived Uremic Toxins, A Pilot Study (PLAN Study)[J]. *Journal of Clinical Medicine,* 2018. IF:5.688
  - 27. Peng J, Pan J, Mo J, et al. MPO/HOCl Facilitates Apoptosis and Ferroptosis in the SOD1 G93A Motor Neuron of Amyotrophic Lateral Sclerosis. *Oxid Med Cell Longev.* 2022;2022:8217663. IF:5.604
  - 28. Treadmill Exercise Alleviates Brain Iron Dyshomeostasis Accelerating Neuronal Amyloid-β Production, Neuronal Cell Death, and Cognitive Impairment in Transgenic Mice Model of Alzheimer's Disease[J]. *Molecular neurobiology,* 2021, 58(7):3208-3223. IF:5.59
  - 29. Aboulhoda, B. E., Rashed, L. A., Ahmed, H., et al. Hydrogen sulfide and mesenchymal stem cells-extracted microvesicles attenuate LPS-induced Alzheimer's disease[J]. *Journal of Cellular Physiology,* 2021, 236(8):5994-6010 IF:5.546
  - 30. Liu W, Jia H, Guan M, et al. Discovery of novel tubulin inhibitors targeting the colchicine binding site via virtual screening, structural optimization and antitumor evaluation. *Bioorg Chem.* 2022;118:105486. IF:5.508